

PLANCHE I

EXPLICATION DE LA PLANCHE I.

- FIG. 1. — *Paratrichoscarta carinata* STÄL, tête vue de dessus.
- FIG. 2. — *Paratrichoscarta carinata* STÄL, tête vue de profil.
- FIG. 3. --- *Paratrichoscarta carinata* STÄL, tête et pronotum.
- FIG. 4. — *Opistarsostethus javanensis* SCHMIDT (type), tête et pronotum.
- FIG. 5. -- *Opistarsostethus ledrinus* JACOBI (type), tête et pronotum.
- FIG. 6. — *Opistarsostethus malayanus* LALLEMAND (type), tête et pronotum.
- FIG. 7. — *Opistarsostethus divergens* SCHMIDT (type), tête et pronotum.
- FIG. 8. — *Opistarsostethus rotundatus* SCHMIDT (type), tête et pronotum.
- FIG. 9. — *Opistarsostethus globosicollis* SCHMIDT (type), tête et pronotum.
- FIG. 10. — *Opistarsostethus simulans* SCHMIDT (type), tête et pronotum.

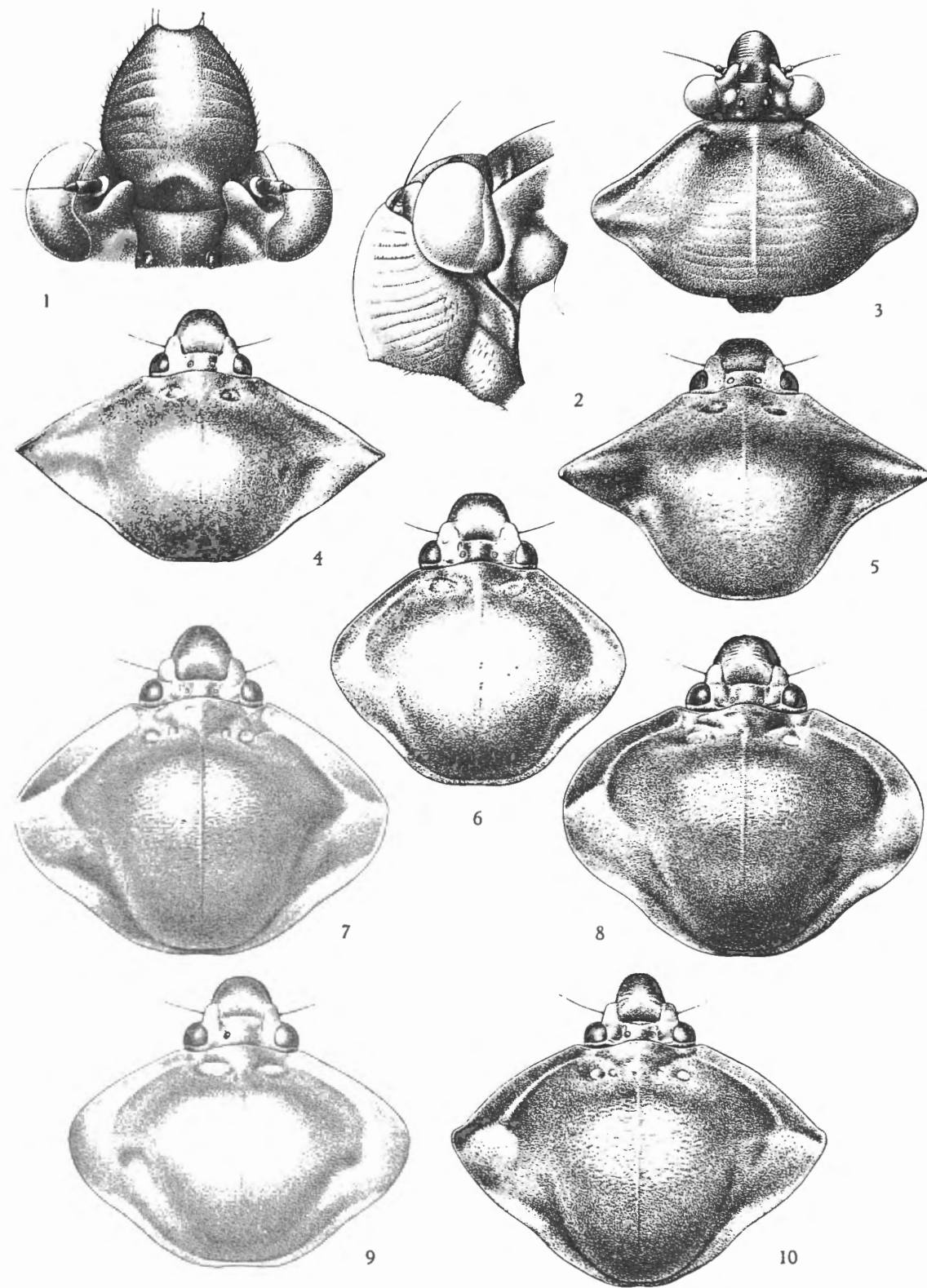


PLANCHE II

EXPLICATION DE LA PLANCHE II.

- FIG. 1. — *Phymatostetha pahangana* LALLEMAND, pronotum.
- FIG. 2. — *Phymatostetha pahangana* LALLEMAND, face supérieure de la tête.
- FIG. 3. — *Trichoscarta solivaga* DISTANT, élytre droit.
- FIG. 4. — *Trichoscarta solivaga* DISTANT, tête, vue de dessus.
- FIG. 5. — *Trichoscarta solivaga* DISTANT, tête vue de face.
- FIG. 6. — *Trichoscarta solivaga* DISTANT, protubérance du mésosternum, vue de profil.
- FIG. 7. — *Trichoscarta solivaga* DISTANT, tête vue de profil.
- FIG. 8. — *Neoporpacella conspurcata* SCHMIDT, protubérance du mésosternum, vue de profil.
- FIG. 9. — *Neoporpacella conspurcata* SCHMIDT, tête vue de dessus.
- FIG. 10. — *Trichoscarta solivaga* DISTANT, pronotum.
- FIG. 11. — *Neoporpacella conspurcata* SCHMIDT, élytre droit.
- FIG. 12. — *Neoporpacella conspurcata* SCHMIDT, pronotum.
-

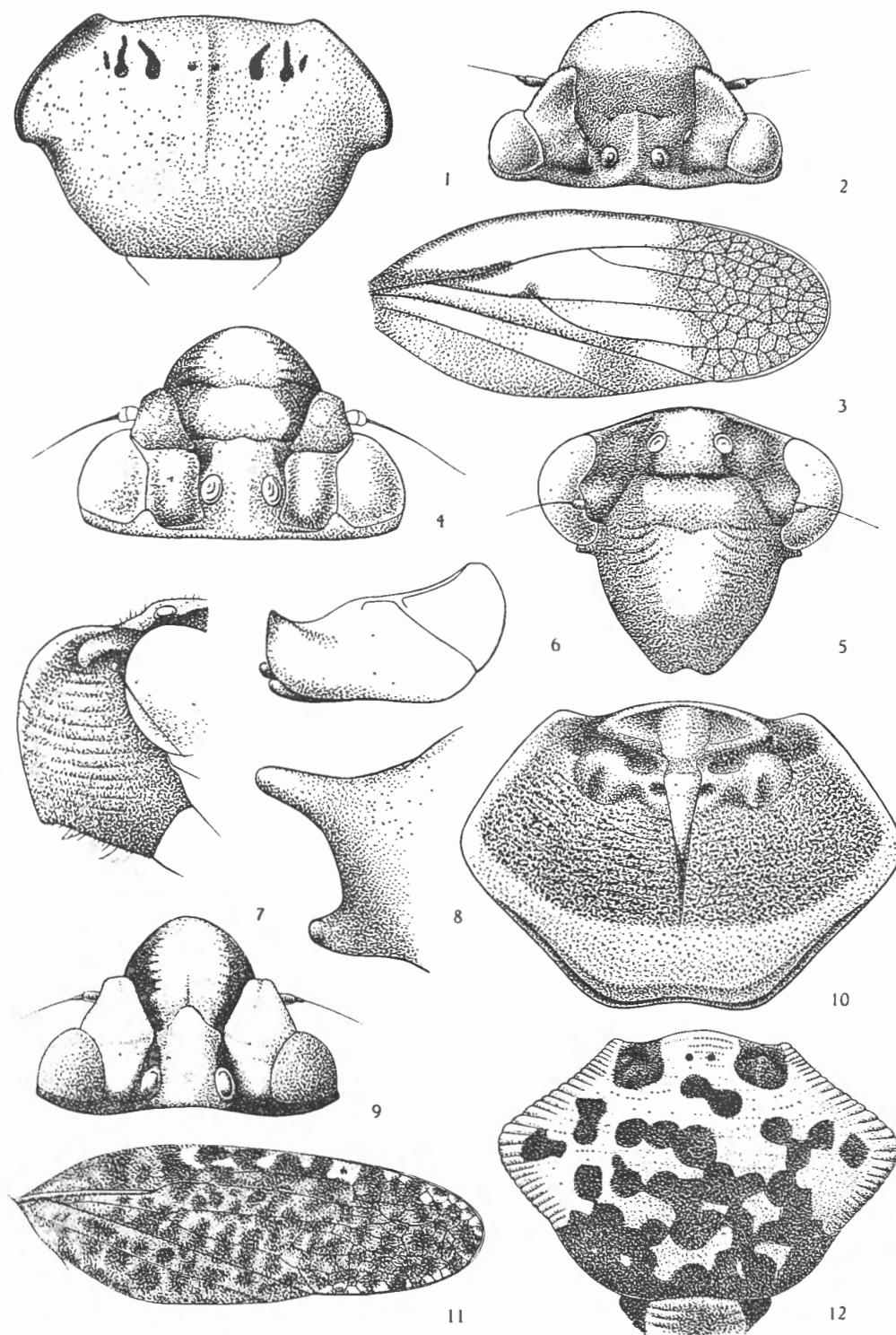
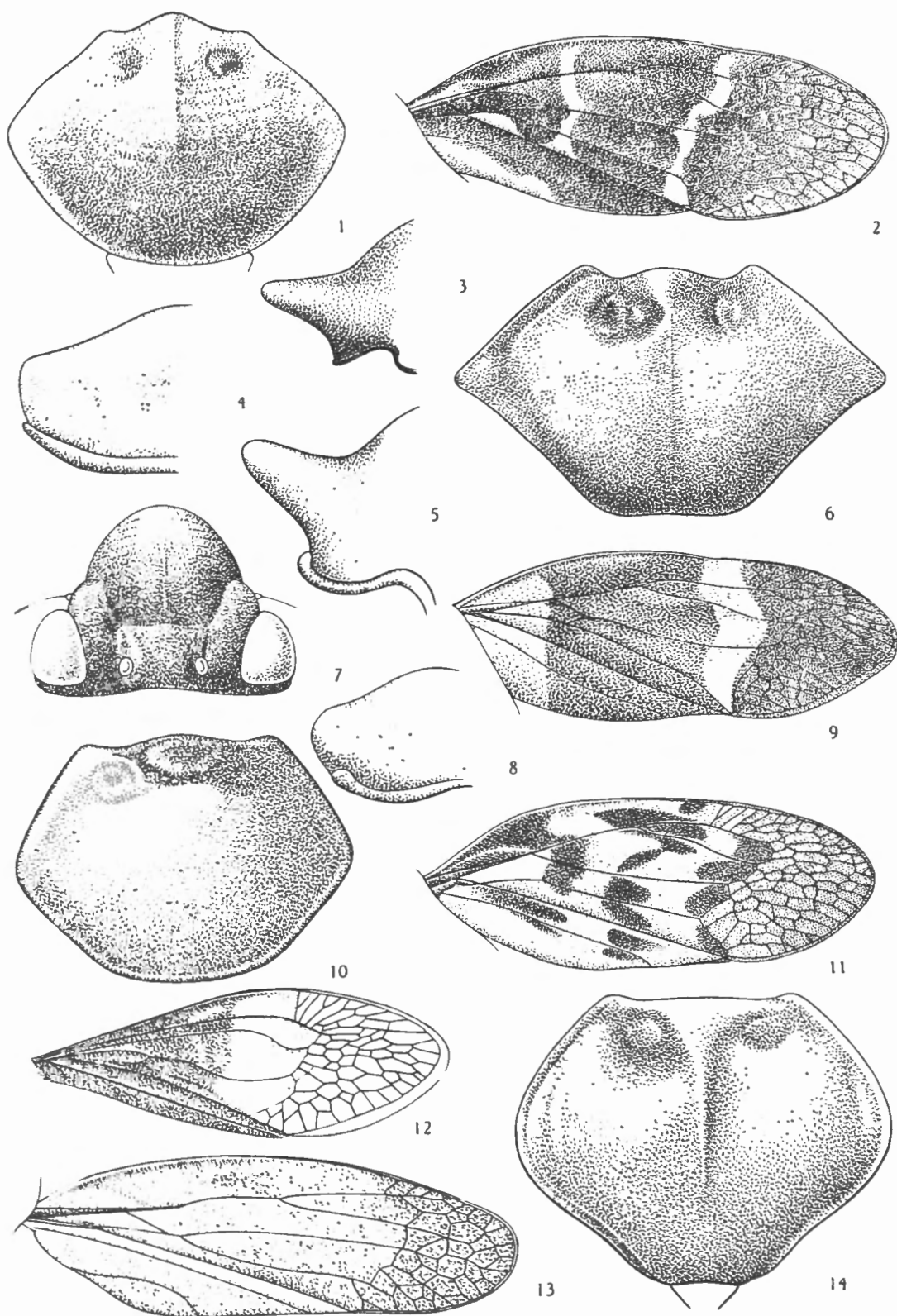
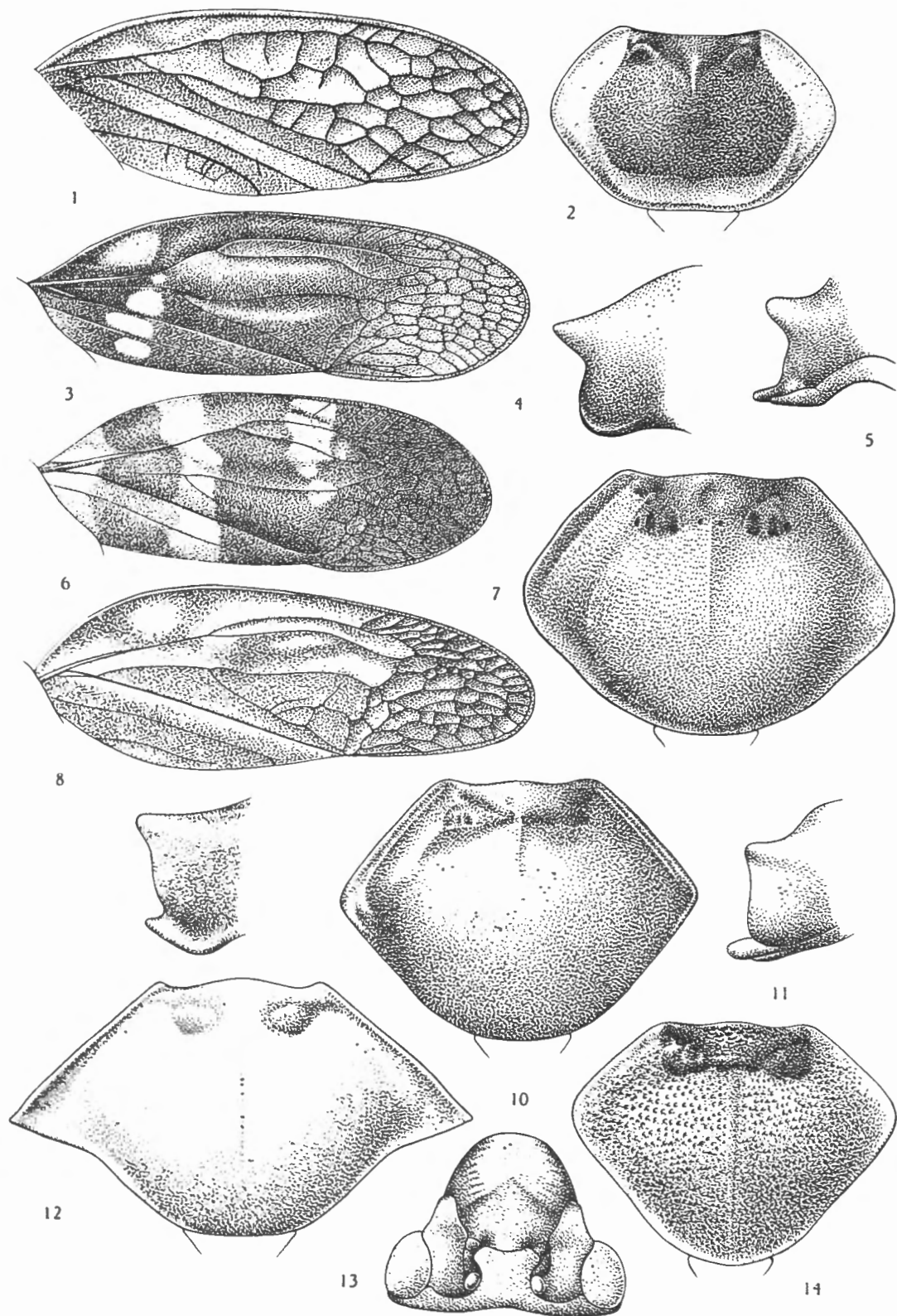


PLANCHE III

EXPLICATION DE LA PLANCHE III.

- FIG. 1. — *Gynopygoplax crocale* BREDDIN, pronotum.
- FIG. 2. — *Gynopygoplax crocale* BREDDIN, élytre.
- FIG. 3. — *Gynopygoplax crocale* BREDDIN, protubérance du mésosternum.
- FIG. 4. — *Cosmoscarta heros* FABRICIUS, protubérance du mésosternum.
- FIG. 5. — *Oxymegaspis maculipennis* SCHMIDT, protubérance du mésosternum.
- FIG. 6. — *Oxymegaspis maculipennis* SCHMIDT, pronotum.
- FIG. 7. — *Cosmoscarta heros* FABRICIUS, tête, vue de dessus.
- FIG. 8. — *Platynotoscarta parva* LALLEMAND, protubérance du mésosternum.
- FIG. 9. — *Cosmoscarta heros* FABRICIUS, élytre droit.
- FIG. 10. — *Cosmoscarta heros* FABRICIUS, pronotum.
- FIG. 11. — *Oxymegaspis maculipennis* SCHMIDT, élytre droit.
- FIG. 12. — *Platynotoscarta parva* LALLEMAND, élytre droit.
- FIG. 13. — *Platynotoscarta pahangana* LALLEMAND, élytre droit.
- FIG. 14. — *Platynotoscarta parva* LALLEMAND, pronotum.
-

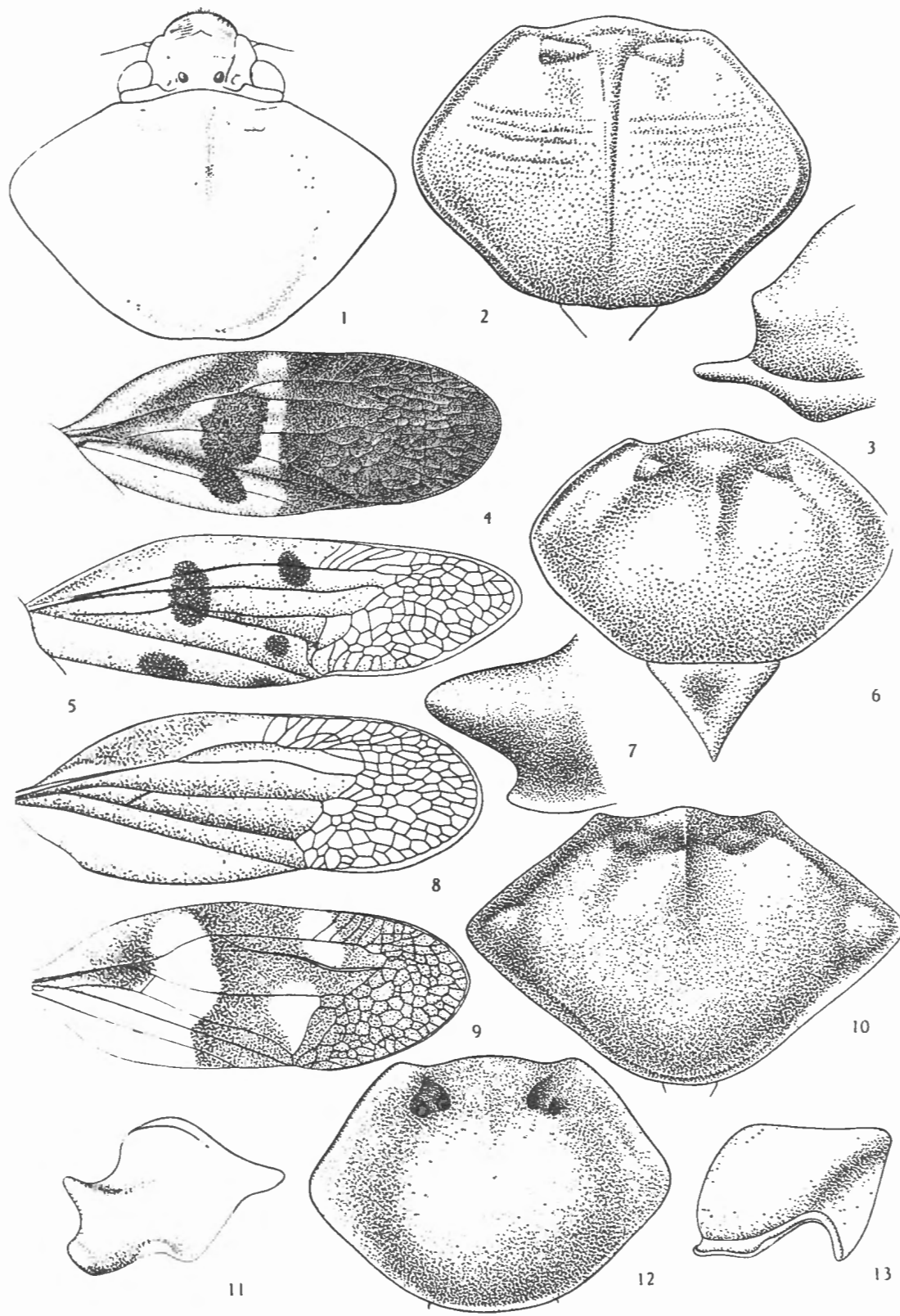




EXPLICATION DE LA PLANCHE V.

- FIG. 1. — *Eubakeriella spectabilis* LALLEMAND, élytre droit.
- FIG. 2. — *Serapita turaja* DISTANT, pronotum.
- FIG. 3. — *Suracarta tricolor* LEPELETIER et SERVILLE, élytre droit.
- FIG. 4. — *Serapita turaja* DISTANT, mésosternum vu de profil.
- FIG. 5. — *Suracarta tricolor* LEPELETIER et SERVILLE, mésosternum vu de profil.
- FIG. 6. — *Serapita turaja* DISTANT, élytre droit.
- FIG. 7. — *Suracarta tricolor* LEPELETIER et SERVILLE, pronotum.
- FIG. 8. — *Simeliria viridans* GUÉRIN, élytre droit.
- FIG. 9. — *Eubakeriella spectabilis* LALLEMAND, mésosternum vu de profil
- FIG. 10. — *Simeliria viridans* GUÉRIN, pronotum.
- FIG. 11. — *Simeliria viridans* GUÉRIN, mésosternum vu de profil.
- FIG. 12. — *Oxypeltarion peracutum* LALLEMAND, pronotum.
- FIG. 13. — *Oxypeltarion peracutum* LALLEMAND, tête.
- FIG. 14. — *Eubakeriella spectabilis* LALLEMAND, pronotum.
-

PLANCHE V



EXPLICATION DE LA PLANCHE IV.

- FIG. 1. — *Opistarsostethus quadripunctatus* SCHMIDT, tête et pronotum.
- FIG. 2. — *Homalostethus terpsichore* STÄL, pronotum.
- FIG. 3. — *Opistarsostethus octopunctatus* AMYOT et SERVILLE, mésosternum vu de profil.
- FIG. 4. — *Megastethodon hyphinoe* BREDDIN, élytre droit.
- FIG. 5. — *Opistarsostethus octopunctatus* AMYOT et SERVILLE, élytre droit.
- FIG. 6. — *Ectemnonotops butleri* DISTANT, pronotum et écusson.
- FIG. 7. — *Megastethodon hyphinoe* BREDDIN, mésosternum vu de profil.
- FIG. 8. — *Ectemnonotops butleri* DISTANT, élytre droit.
- FIG. 9. — *Homalostethus terpsichore* STÄL, élytre droit.
- FIG. 10. — *Opistarsostethus octopunctatus* AMYOT et SERVILLE, pronotum.
- FIG. 11. — *Ectemnonotops butleri* DISTANT, mésosternum vu de profil.
- FIG. 12. — *Megastethodon hyphinoe* BREDDIN, pronotum.
- FIG. 13. — *Homalostethus terpsichore* STÄL, mésosternum.
-

PLANCHE IV

PLANCHE VI

EXPLICATION DE LA PLANCHE VI.

FIG. 1. — *Leptataspis siamensis* BUTLER, élytre gauche.

FIG. 2. — *Leptataspis toxopei* LALLEMAND et SYNAVE.

FIG. 3. — *Ectemnonotum bivittatum* LEPELETIER et SERVILLE, élytre droit.

FIG. 4. — *Ectemnonotum bivittatum* LEPELETIER et SERVILLE, pronotum.

FIG. 5. — *Leptataspis siamensis* BUTLER, tête.

FIG. 6. — *Leptataspis siamensis* BUTLER, pronotum.

FIG. 7. — *Ectemnonotum bivittatum* LEPELETIER et SERVILLE, mésosternum vu de profil.

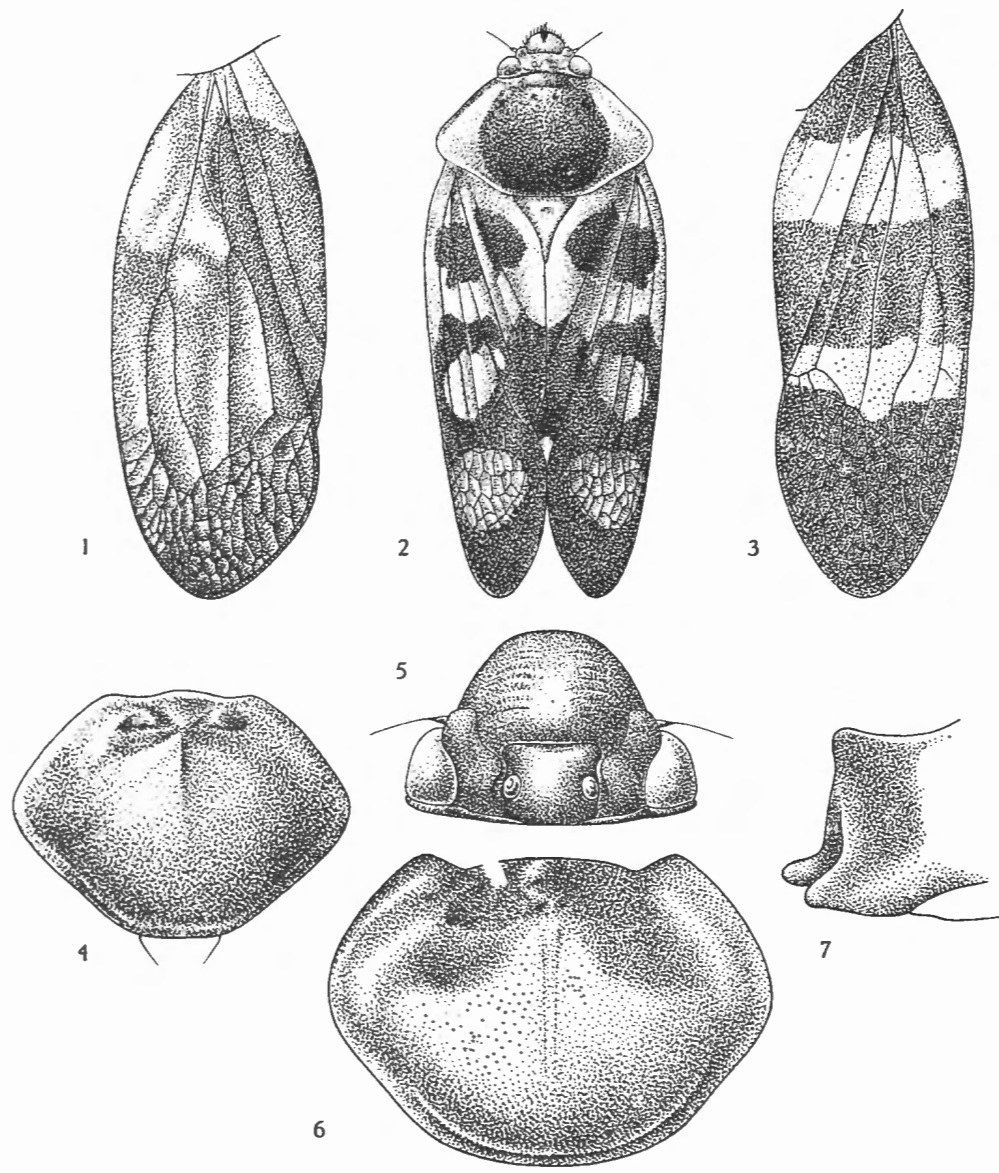


PLANCHE VII

EXPLICATION DE LA PLANCHE VII.

- FIG. 1. — *Homalostethus mirandus* BUTLER, lame latérale gauche ($\times 30$ env.).
- FIG. 2. — *Homalostethus spectabilis* f. *impunctatus* LALLEMAND, lame latérale gauche ($\times 30$ env.).
- FIG. 3. — *Homalostethus inexactus* WALKER, lame latérale gauche ($\times 30$ env.).
- FIG. 4. — *Homalostethus ussensis* n. sp., lame latérale gauche ($\times 30$ env.).
- FIG. 5. — *Homalostethus sachilebeni* n. sp., lame latérale gauche ($\times 30$ env.).
- FIG. 6. — *Cosmoscarta egens* f. *luangana* LALLEMAND, lame latérale gauche ($\times 30$ env.).
- FIG. 7. — *Cosmoscarta dorsimacula* WALKER, lame latérale droite ($\times 30$ env.).
- FIG. 8. — *Homalostethus terpsichore* STÄL, lame latérale gauche ($\times 30$ env.).
- FIG. 9. — *Homalostethus erato* BREDDIN, lame latérale gauche ($\times 30$ env.).
- FIG. 10. — *Cosmoscarta decisa* WALKER, lame latérale gauche ($\times 30$ env.).
- FIG. 11. — *Opistarsostethus ledrinus* JACOBI (type), lame latérale gauche ($\times 30$ env.).
- FIG. 12. — *Homalostethus obiensis* DISTANT, lame latérale gauche ($\times 30$ env.).
- FIG. 13. — *Homalostethus luzonensis* LALLEMAND, lame latérale gauche ($\times 30$ env.).
- FIG. 14. — *Cosmoscarta bispecularis* WHITE, lame latérale gauche ($\times 30$ env.).
- FIG. 15. — *Opistarsostethus octopunctatus* AMYOT et SERVILLE, lame latérale gauche ($\times 30$ env.).
- FIG. 16. — *Cosmoscarta egens* f. *innominata* SCHMIDT (= *diminuta* LALLEMAND), lame latérale gauche ($\times 30$ env.).
- FIG. 17. — *Opistarsostethus malayanus* LALLEMAND, lame latérale gauche ($\times 30$ env.).
- FIG. 18. — *Homalostethus semiruber* BREDDIN, lame latérale gauche ($\times 30$ env.).
- FIG. 19. — *Opistarsostethus unipunctatus* SCHMIDT (type), lame latérale gauche ($\times 30$ env.).
- FIG. 20. — *Cosmoscarta concisa* WALKER, lame latérale gauche ($\times 30$ env.).
- FIG. 21. — *Opistarsostethus globosicollis* SCHMIDT, lame latérale gauche ($\times 30$ env.).
- FIG. 22. — *Homalostethus fervescens* BUTLER, lame latérale gauche ($\times 30$ env.).
- FIG. 23. — *Opistarsostethus simulans* SCHMIDT (type), lame latérale gauche ($\times 30$ env.).
- FIG. 24. — *Suracarta tricolor tricolor* LEPELETIER et SERVILLE, lame latérale gauche ($\times 40$ env.).
- FIG. 25. — *Opistarsostethus tripunctatus* LALLEMAND, lame latérale gauche ($\times 50$ env.).
- FIG. 26. — *Opistarsostethus menacus* DISTANT, lame latérale gauche ($\times 30$ env.).
- FIG. 27. — *Cosmoscarta callirhoe* BREDDIN, lame latérale gauche ($\times 30$ env.).
- FIG. 28. — *Opistarsostethus humilis* LALLEMAND, lame latérale gauche ($\times 30$ env.).
- FIG. 29. — *Homalostethus breddini* LALLEMAND, lame latérale gauche ($\times 30$ env.).
- FIG. 30. — *Opistarsostethus bimaculatus* SCHMIDT, lame latérale gauche ($\times 30$ env.).
- FIG. 31. — *Ectemnonotops butleri* DISTANT, lame latérale gauche ($\times 30$ env.).
- FIG. 32. — *Cosmoscarta callizona* f. *eppiphia* BREDDIN, lame latérale gauche ($\times 30$ env.).
-

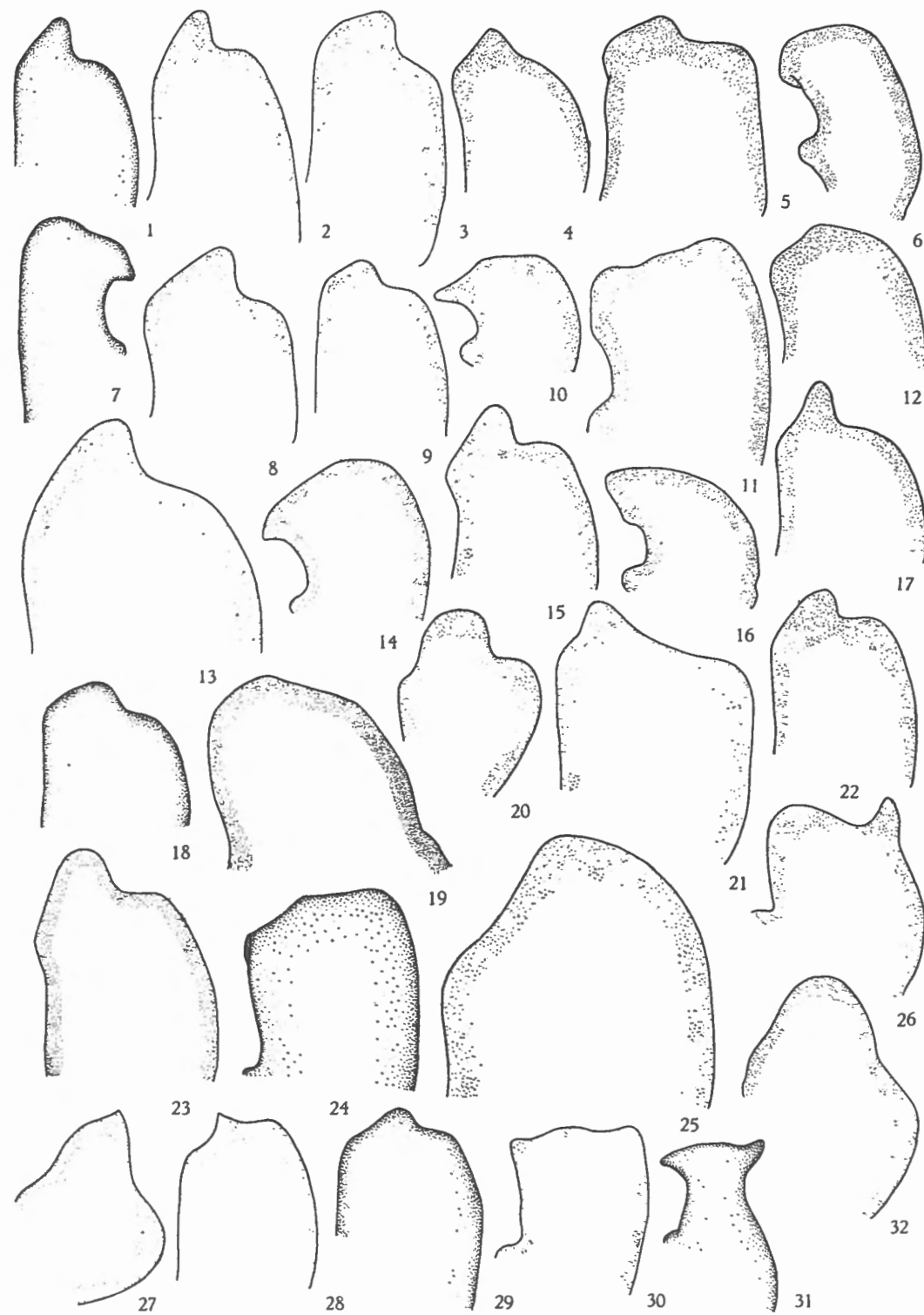


PLANCHE VIII

EXPLICATION DE LA PLANCHE VIII.

- FIG. 1. — *Trichoscarta similis* SCHMIDT, lame latérale gauche ($\times 30$ env.).
FIG. 2. — *Porpacella tetraspila* WALKER, lame latérale gauche ($\times 30$ env.).
FIG. 3. — *Neoporpacella apicalis* SCHMIDT, lame latérale gauche ($\times 30$ env.).
FIG. 4. — *Neoporpacella conspurcata* SCHMIDT, lame latérale gauche ($\times 30$ env.).
FIG. 5. — *Cosmoscarta mouangana* LALLEMAND et SYNAVE, lame latérale gauche ($\times 30$ env.).
FIG. 6. — *Gynopygoplax crocale* BREDDIN, lame latérale gauche ($\times 35$ env.).
FIG. 7. — *Gynopygoplax costalis* WALKER, lame latérale gauche ($\times 35$ env.).
FIG. 8. — *Gynopygoplax inclusa* LALLEMAND, lame latérale gauche ($\times 35$ env.).
FIG. 9. — *Cosmoscarta heros heros* FABRICIUS, paramère gauche ($\times 30$ env.).
FIG. 10. — *Cosmoscarta psecas* BREDDIN, lame latérale droite ($\times 30$ env.).
FIG. 11. — *Platynotoscarta parva* LALLEMAND, lame latérale droite ($\times 35$ env.).
FIG. 12. — *Oxymegaspis maculipennis* SCHMIDT, lame latérale gauche ($\times 30$ env.).
FIG. 13. — *Cosmoscarta miniata* HAUPT, lame latérale gauche ($\times 30$ env.).
FIG. 14. — *Cosmoscarta orchymonti* LALLEMAND, lame latérale gauche ($\times 30$ env.).
FIG. 15. — *Oxymegaspis schultzei* SCHMIDT (type), lame latérale gauche ($\times 35$ env.).
FIG. 16. — *Cosmoscarta exultans* WALKER, lame latérale droite ($\times 60$ env.).
FIG. 17. — *Cosmoscarta capeneri* LALLEMAND et SYNAVE, lame latérale droite ($\times 30$ env.).
FIG. 18. — *Cosmoscarta thalia* STÅL, lame latérale droite ($\times 30$ env.).
FIG. 19. — *Cosmoscarta irresoluta* WALKER, lame latérale gauche ($\times 35$ env.).
FIG. 20. — *Cosmoscarta miniata* f. *fasciata* HAUPT, lame latérale gauche ($\times 30$ env.).
FIG. 21. — *Cosmoscarta fumosa* DISTANT, lame latérale droite ($\times 30$ env.).
FIG. 22. — *Platynotoscarta pahangana* LALLEMAND et SYNAVE, lame latérale gauche ($\times 30$ env.).
FIG. 23. — *Cosmoscarta liturata* WALKER, lame latérale gauche ($\times 30$ env.).
FIG. 24. — *Cosmoscarta fumosa* f. *obscura* LALLEMAND et SYNAVE, lame latérale gauche ($\times 30$ env.).
FIG. 25. — *Cosmoscarta heros heros* FABRICIUS, lame latérale gauche ($\times 30$ env.).
FIG. 26. — *Cosmoscarta septempunctata* WALKER (allotype ♂), lame latérale droite ($\times 30$ env.).
FIG. 27. — *Cosmoscarta palopona* LALLEMAND, lame latérale droite ($\times 30$ env.).
FIG. 28. — *Cosmoscarta setchouana* LALLEMAND et SYNAVE, lame latérale droite ($\times 30$ env.).
FIG. 29. — *Cosmoscarta fictilis* BUTLER, lame latérale droite ($\times 30$ env.).
-

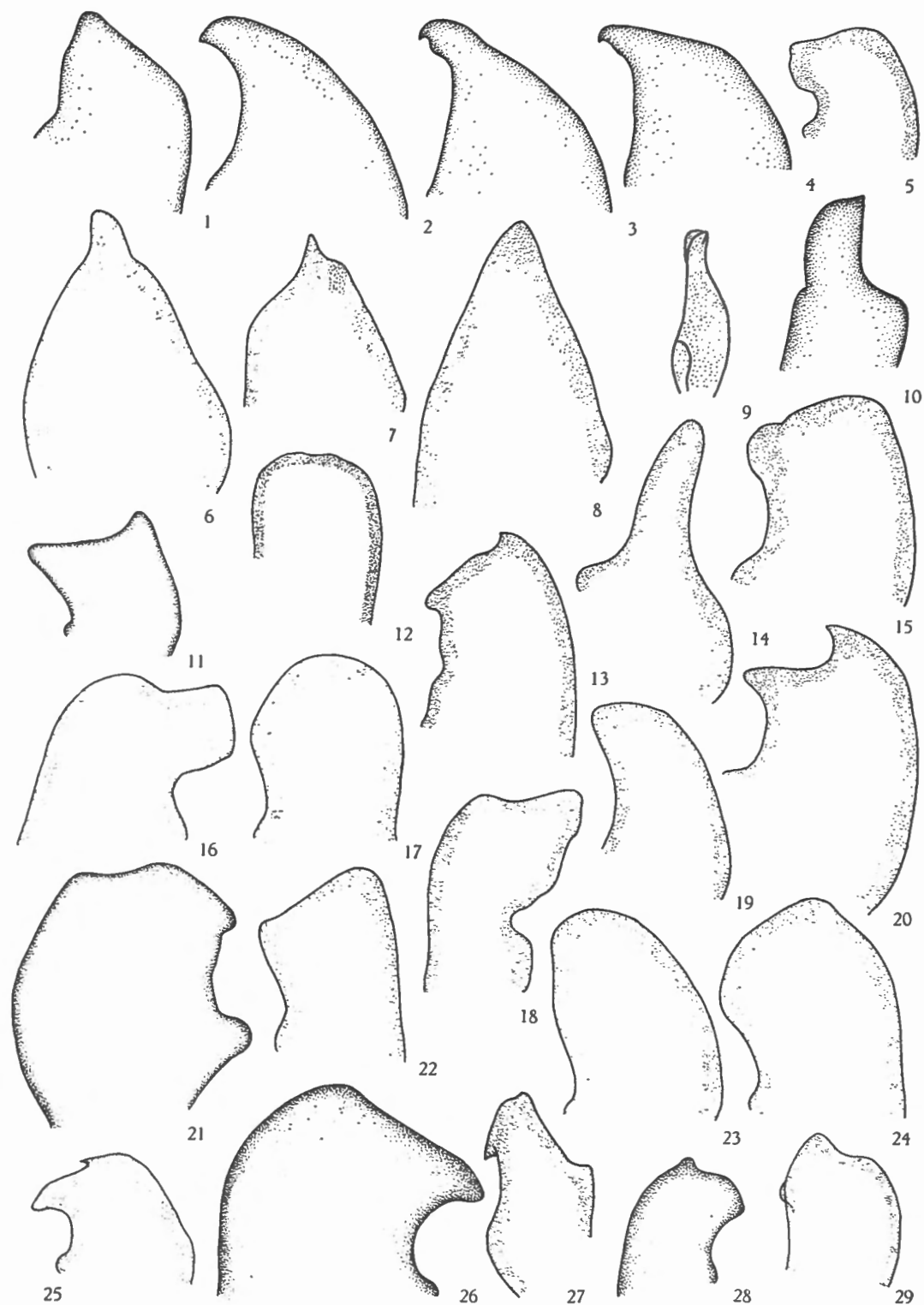


PLANCHE IX

EXPLICATION DE LA PLANCHE IX.

- FIG. 1. — *Gynopygoplax proserpinopsis* SCHMIDT (type), lame latérale gauche ($\times 40$ env.).
FIG. 2. — *Leptaspis fulviceps* DALLAS, lame latérale gauche ($\times 30$ env.).
FIG. 3. — *Leptaspis pahangana* LALLEMAND, lame latérale gauche ($\times 30$ env.).
FIG. 4. — *Leptaspis selangorensis* LALLEMAND, lame latérale gauche ($\times 30$ env.).
FIG. 5. — *Leptaspis striata* LALLEMAND, lame latérale gauche ($\times 30$ env.).
FIG. 6. — *Leptaspis semimaculata* STÄL (type), lame latérale gauche ($\times 30$ env.).
FIG. 7. — *Leptaspis robinsoni* LALLEMAND, lame latérale gauche ($\times 30$ env.).
FIG. 8. — *Leptaspis intermedia* SCHMIDT, lame latérale gauche ($\times 30$ env.).
FIG. 9. — *Leptaspis formosula* SCHMIDT, lame latérale gauche ($\times 30$ env.).
FIG. 10. — *Leptaspis lydia* STÄL (type), lame latérale gauche ($\times 30$ env.).
FIG. 11. — *Leptaspis inclusa* LALLEMAND, lame latérale gauche ($\times 50$ env.).
FIG. 12. — *Leptaspis scabra* DISTANT, lame latérale gauche ($\times 30$ env.).
FIG. 13. — *Leptaspis thoracica* DISTANT, lame latérale gauche ($\times 30$ env.).
FIG. 14. — *Leptaspis rufipes* STÄL (type), lame latérale gauche ($\times 30$ env.).
FIG. 15. — *Leptaspis fuscipennis* f. *plana* WALKER, lame latérale gauche ($\times 30$ env.).
FIG. 16. — *Leptaspis cincta* LALLEMAND et SYNAVE (type), lame latérale gauche ($\times 30$ env.).
FIG. 17. — *Leptaspis ophirina* LALLEMAND, lame latérale gauche ($\times 70$ env.).
FIG. 18. — *Leptaspis discolor* GUÉRIN, lame latérale gauche ($\times 30$ env.).
FIG. 19. — *Leptaspis discolor* f. *diminuta* LALLEMAND et SYNAVE, lame latérale gauche ($\times 30$ env.).
FIG. 20. — *Leptaspis barda* SCHMIDT, lame latérale gauche ($\times 30$ env.).
FIG. 21. — *Leptaspis ophir* DISTANT, lame latérale gauche ($\times 40$ env.).
FIG. 22. — *Leptaspis semipardalis* WALKER, lame latérale gauche ($\times 30$ env.).
FIG. 23. — *Leptaspis carpentieri* LALLEMAND, lame latérale gauche ($\times 30$ env.).
FIG. 24. — *Leptaspis horsfieldi* DISTANT, lame latérale gauche ($\times 30$ env.).
FIG. 25. — *Leptaspis shillongana* DISTANT, lame latérale gauche ($\times 30$ env.).
FIG. 26. — *Leptaspis moultoni* LALLEMAND, lame latérale gauche ($\times 40$ env.).
FIG. 27. — *Leptaspis helena* BREDDIN, lame latérale gauche ($\times 30$ env.).
FIG. 28. — *Leptaspis borneensis* SCHMIDT, lame latérale gauche ($\times 30$ env.).
FIG. 29. — *Leptaspis butuanensis* LALLEMAND, lame latérale gauche ($\times 30$ env.).
FIG. 30. — *Leptaspis schlaginhaufeni* JACOBI, lame latérale gauche ($\times 30$ env.).
FIG. 31. — *Leptaspis megamera* BUTLER, lame latérale gauche ($\times 40$ env.).
FIG. 32. — *Leptaspis aglaie* BREDDIN, lame latérale gauche ($\times 30$ env.).
FIG. 33. — *Leptaspis fortunata* SCHMIDT, lame latérale gauche ($\times 30$ env.).
FIG. 34. — *Leptaspis testaceicollis* SCHMIDT (type), lame latérale gauche ($\times 30$ env.).
FIG. 35. — *Leptaspis insularis* LALLEMAND, lame latérale gauche ($\times 30$ env.).
-
-

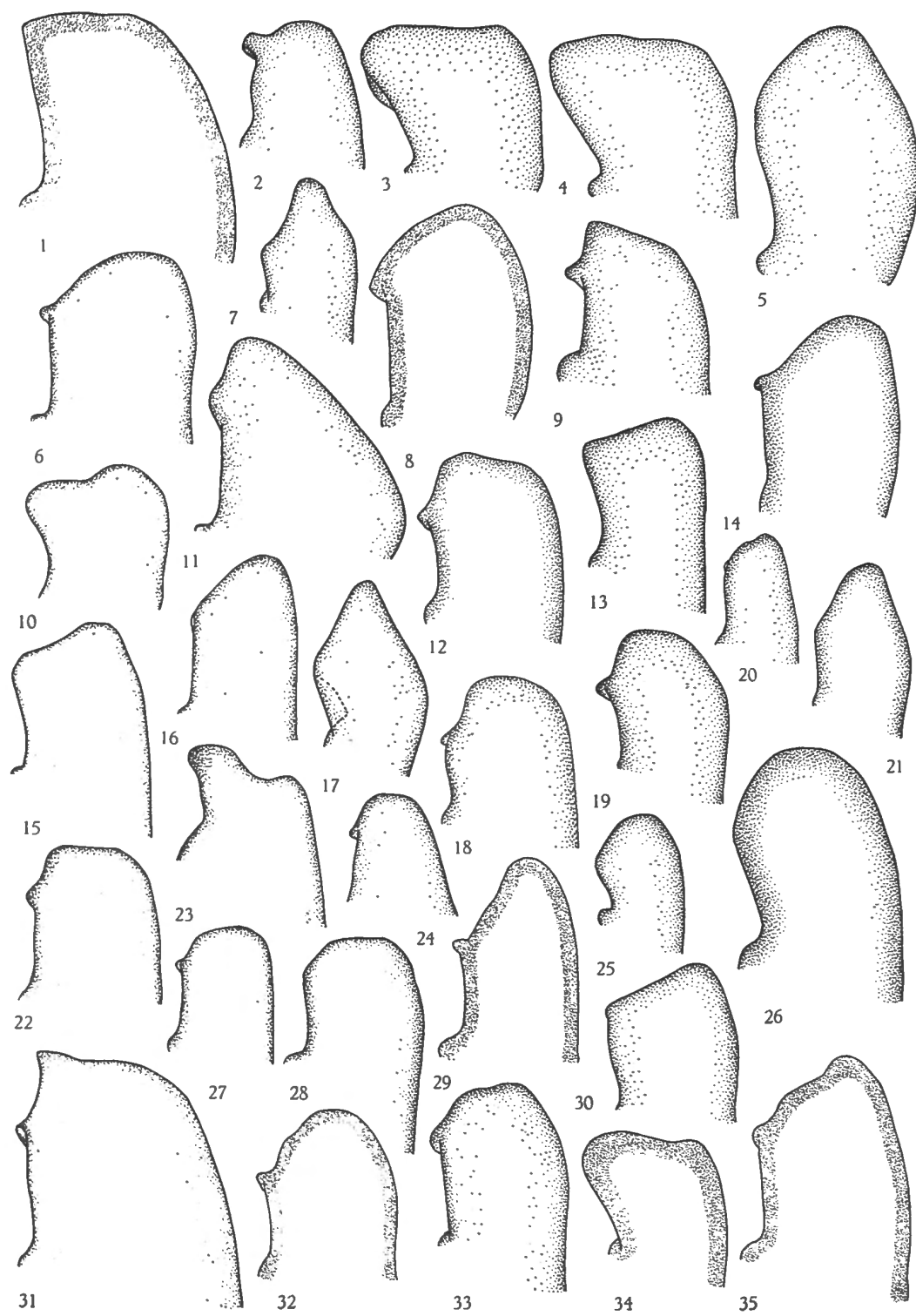


PLANCHE X

EXPLICATION DE LA PLANCHE X.

- FIG. 1. — *Leptaspis toxopei* LALLEMAND et SYNAVE, lame latérale gauche ($\times 30$ env.).
- FIG. 2. — *Leptaspis royeri* LALLEMAND, lame latérale gauche ($\times 30$ env.).
- FIG. 3. — *Leptaspis philomele* BREDDIN, lame latérale gauche ($\times 30$ env.).
- FIG. 4. — *Leptaspis sumatrana* SCHMIDT, lame latérale gauche ($\times 40$ env.).
- FIG. 5. — *Leptaspis medanensis* LALLEMAND, lame latérale gauche ($\times 40$ env.).
- FIG. 6. — *Leptaspis similis* SCHMIDT (type), lame latérale gauche ($\times 30$ env.).
- FIG. 7. — *Leptaspis piceicollis* BREDDIN (type), lame latérale gauche ($\times 40$ env.).
- FIG. 8. — *Leptaspis costalis* SCHMIDT, lame latérale gauche ($\times 40$ env.).
- FIG. 9. — *Leptaspis guttatiformis* SCHMIDT, lame latérale gauche ($\times 40$ env.).
- FIG. 10. — *Leptaspis chryseis* BREDDIN, lame latérale gauche ($\times 40$ env.).
- FIG. 11. — *Leptaspis concolor* WALKER, lame latérale gauche ($\times 30$ env.).
- FIG. 12. — *Leptaspis guttata* LEPELETIER et SERVILLE, lame latérale gauche ($\times 30$ env.).
- FIG. 13. — *Leptaspis fornax* SCHMIDT, lame latérale gauche ($\times 30$ env.).
- FIG. 14. — *Leptaspis cassandra* BREDDIN, lame latérale gauche ($\times 40$ env.).
- FIG. 15. — *Leptaspis concolor* WALKER, lame latérale gauche ($\times 30$ env.).
- FIG. 16. — *Leptaspis marthae* LALLEMAND, lame latérale gauche ($\times 30$ env.).
- FIG. 17. — *Simeliria hippodamia* BREDDIN, lame latérale gauche ($\times 30$ env.).
- FIG. 18. — *Ectemnonotum splendens* n. sp., lame latérale gauche ($\times 30$ env.).
- FIG. 19. — *Ectemnonotum dohrni* SCHMIDT, lame latérale gauche ($\times 30$ env.).
- FIG. 20. — *Ectemnonotum buxtoni* BUTLER, lame latérale gauche ($\times 30$ env.).
- FIG. 21. — *Simeliria viridans* GUÉRIN, lame latérale gauche ($\times 30$ env.).
- FIG. 22. — *Ectemnonotum strangulatum* n. sp., lame latérale gauche ($\times 30$ env.).
- FIG. 23. — *Oxypeltarion angulosum* BREDDIN, lame latérale gauche ($\times 30$ env.).
- FIG. 24. — *Megastethodon xanthorhinus* BOISDUVAL, lame latérale gauche ($\times 30$ env.).
- FIG. 25. — *Ectemnonotops luridifulva* SCHMIDT, lame latérale gauche ($\times 40$ env.).
-

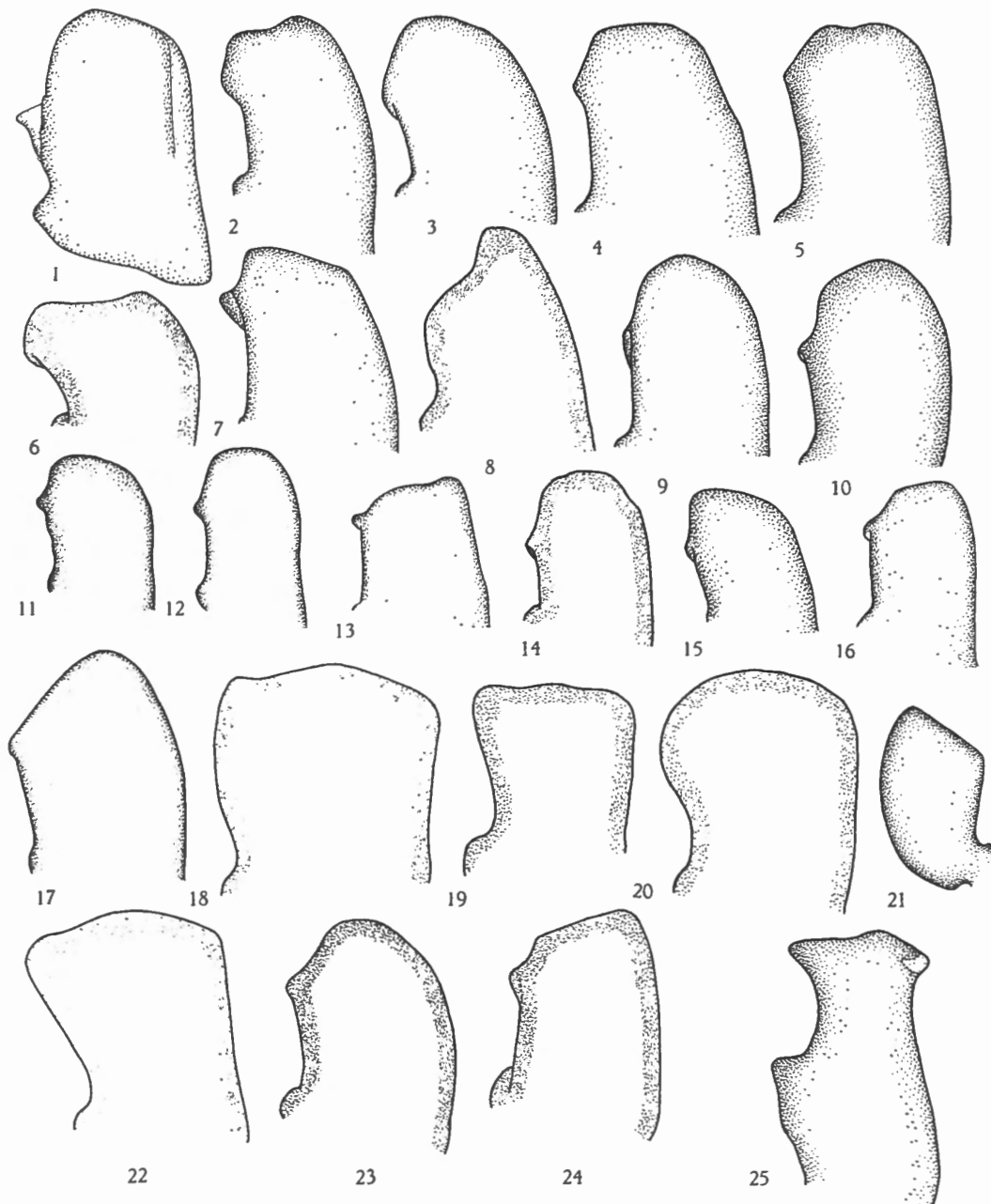


PLANCHE XI

EXPLICATION DE LA PLANCHE XI.

- FIG. 1. — *Ectemnonotum tricoloriforme* SCHMIDT, lame latérale gauche ($\times 30$ env.).
- FIG. 2. — *Ectemnonotum frühstorferi* JACOBI, lame latérale gauche ($\times 40$ env.).
- FIG. 3. — *Ectemnonotum bivittatum* LEPELETTIER et SERVILLE, lame latérale gauche ($\times 30$ env.).
- FIG. 4. — *Ectemnonotum acuminatum apicale* LALLEMAND, lame latérale droite ($\times 30$ env.).
- FIG. 5. — *Ectemnonotum luteum* LALLEMAND, lame latérale gauche ($\times 30$ env.).
- FIG. 6. — *Megastethodon horrisicus* BUTLER, lame latérale gauche ($\times 30$ env.).
- FIG. 7. — *Megastethodon roberti* LALLEMAND, lame latérale gauche ($\times 30$ env.).
- FIG. 8. — *Oxypeltarion masoni* DISTANT, lame latérale gauche ($\times 30$ env.).
- FIG. 9. — *Ectemnonotum karnyi* LALLEMAND, lame latérale gauche ($\times 30$ env.).
- FIG. 10. — *Ectemnonotum acuminatum apicale* LALLEMAND, plaque subgénitale ♀ ($\times 30$ env.).
- FIG. 11. — *Ectemnonotum luteopunctatum*, lame latérale gauche ($\times 30$ env.).
- FIG. 12. — *Ectemnonotum cyaneiventris* WALKER, plaque subgénitale ♀ ($\times 30$ env.).
- FIG. 13. — *Megastethodon basistriga* WALKER, lame latérale gauche ($\times 30$ env.).
- FIG. 14. — *Ectemnonotum bivittatum* LEPELETTIER et SERVILLE, édéage, vue ventrale ($\times 30$ env.).
- FIG. 15. — *Oxypeltarion straeleni* n. sp., lame latérale gauche ($\times 30$ env.).
- FIG. 16. — *Simeliria cambodjana* SCHMIDT, lame latérale gauche ($\times 30$ env.).
-

